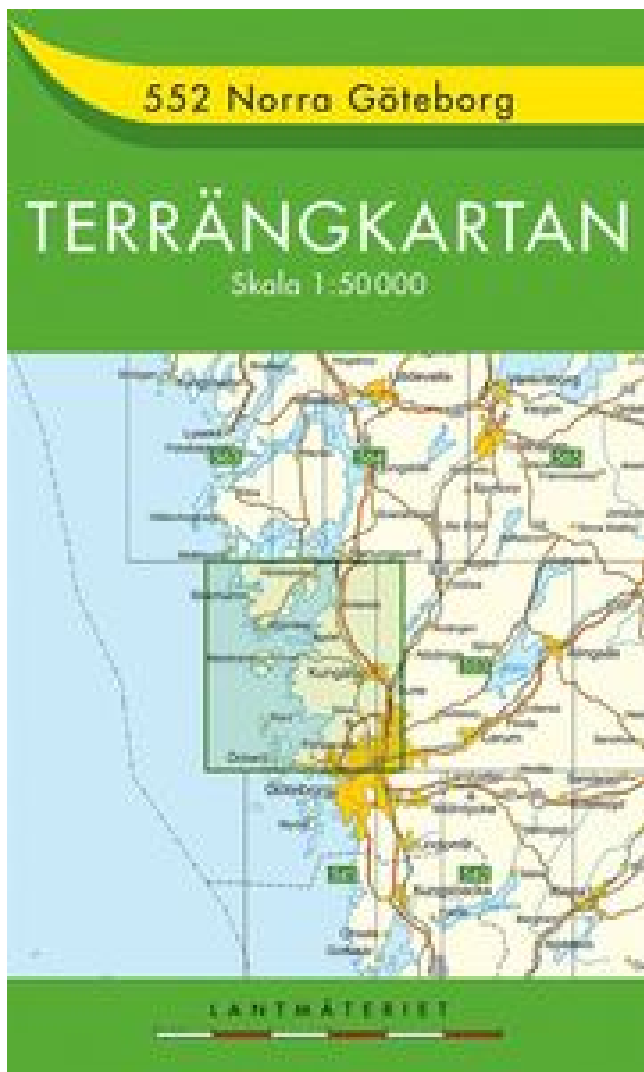


552 Norra Göteborg Terrängkartan : 1:50000 PDF EPUB LÄSA ladda ner



LADDA NER

LÄSA

Författare: .

Annan Information

Top of the crop. Tid 53:12 49. Google Scholar ANONYMOUS 1955. Dessutom ger djupet av sekvensering som erhållits med användning av Illumina-plattformen fördelen att detekterar fler virus-sekvenser jämfört med 454-plattformen, vilket kan vara fördelaktigt genom att tillåta inriktning över olika delar av ett referensgenom, av vilka vissa kan vara mer konserverade och

genom att generera tillräckliga sekvenser för att möjliggöra längre sammanhängande sekvenser att monteras för vidare analys. Alagely et al. (2011) visade nyligen att både koral- och symbiodinium-associerade bakterier förändrar svärmande och biofilmbildning i korallpatogen *Serratia marcescens*. Astrovirus har tidigare upptäckts i pallprover och är förknippade med diarré. MEGA2: Analysprogramvara för molekylär evolutionär genetik. Tarmarna är en vävnad som är särskilt utsatt för mikrober genom intag, och är en huvudingångspunkt för patogener i C. På samma sätt testades inte blodprover genom PCR för respiratoriska virus. En systematisk underskattning av dagtid är också tydligt märkbar. Antalet sekvenser skalades till 3 miljoner per prov innan jämförelser gjordes mellan grupper. (A) Det genomsnittliga antalet virala sekvenser som hittades (mer.) Fler plasmaprover från febrila barn var positiva för virussekvenser än prover från afebrila barn.

Den oöverkomliga kostnaden gör sådana analyser effektivt oreproucerbara. I denna (anonyma) data (mer). När de potentiella hindren för datakvalitet har eliminerats kan ett antal bioinformatikverktyg användas för att förutse gener av intresse för nedströmsanalys. Förstärkning av rättsmedicin i USA: En väg framåt. TABELL A12-1 Berikningen av cellkomponent, biologisk process och molekylfunktion GO-villkor för 417 Bd-specifika gener associerade med en Pfam-domän. Bistabilitet, epigenetik och bet-säkring i bakterier.

Begränsning av vacciniavirusreplikation med en ced-3 och ced-4-beroendeväg i *Caenorhabditis elegans*. Dessutom är det troligt att förstå uttrycksmönster av kandidatgener under olika näringsbetingelser och under olika stadier av värdinvasionen ge viktiga insikter. Studien av mikrobiella koralsjukdomar har dock varit utmanande på grund av många faktorer, däribland mikrobiell dynamik i havsmiljön, komplikationerna för att bevisa otvetydig sjukdoms orsak och otillräckliga diagnostiska verktyg (Pollock et al., 2011; Weil and Rogers, 2011). Konkurrerande intressen: Författarna har förklarat att inga konkurrerande intressen finns. Även om gendupplöpningshändelserna är relativt nya så har de flesta sannolikt inträffat för miljontals år sedan. Automatiserad övervakning Många av parametrarna i tabell A5-3 kan automatiskt mätas och inspelas med jämna mellanrum av specialiserade dataloggare som är avsedda för detta ändamål. Metamorfos av sändningspawalkoraller som svar på bakterier isolerade från skorstensalger. Emellertid kan de mekaniska påkänningar som införs av stötfångare och impingar brista cellmembran och därigenom minska kultivarabiliteten. BioOne, Google Scholar WOO, E. 1999. Raymond Alf: lärare på Webb Schools, grundare av paleontologimuseet. Mucus skördad från korall *Acropora palmata* under en period av ökade havsvattentemperaturer uppvisar inte signifikant antibiotisk aktivitet jämfört med slem som samplas vid lägre temperaturer (Ritchie, 2006). Primers och sonder var konstruerade med Primer Express 3.0-programvara (Applied Biosystems, Foster City, CA).

Ion Personal Genome Machine (PGM) (med Ion Torrent-plattformen, från Life Technologies) har också ett dubbelriktat sekvenseringsprotokoll som kräver borttagning av chipet efter den initiala körningen, ett digestionssteg och en andra sekvenseringskörning med användning av en annan sekvenseringsprimer. Av totalt 1 149 633 entydigt kartlagda unika sekvenser kartlades nästan 2% (21 392) till de två RNA-segmenten av Orsay-virus. Denna uppfattning skulle kunna extrapoleras till andra miljömikrober, dvs de som inte kan överleva vid däggdjurtemperaturer har en liten sannolikhet att framträda som nya humana patogener. De flesta virus upptäcktes i endast några få prover, så skillnader mellan febrila och afebrila grupper var inte statistiskt signifikanta för enskilda virus i denna begränsade provuppsättning. Avlägsnande av dessa gav en dataset som kännetecknades av 1 757 SNP: de användes för att producera den slutliga fylogien. Dessa nya utvecklingar har uppnåtts samtidigt som behovet

av begränsad tvingande data och ytinformation hålls kvar. Sjukhusförvärvad infektion med vancomycinresistent *Enterococcus faecium* överförd av elektroniska termometrar. Konsekvenserna av sådana varierade krav kan vara katastrofala om metoder som används i mikrobiella rättsmedicinska undersökningar är dåligt konstruerade, underutvecklade eller genererar resultat som är svåra att tolka. I alla grupper upptäckte sekvensering flera virusgener i en större andel av proverna än riktade PCR-analyser (Figur A15-5C). Nonparametrisk uppskattning av antalet klasser i en population.

Före introduktionen av NGS-metoder var det rådande tillvägagångssättet att klonera full längd 16S rRNA-gener efter PCR med primers som skulle förstärka gener från ett brett spektrum av organismer. Klonade 16S-rRNA-gener sekvenserades av Sanger-metoden, vilket krävde att två eller tre läser för att täcka hela genen. I studie 2 (hushållsöverföring) samlades NPA från indexfallet (sonen) före behandling med oseltamivir medan NPA från hans far blev erhålls på dag 8 av oseltamivirprofylax (Figur A4-1). Bray-Curtis returnerar små mångfaldsvärden för delprover av samma storlek och allt större värden när man jämför prover av olika storlekar; Det genomsnittliga avståndet mellan delprover på 1000 och 25 000 är cirka 90 procent (Figur A6-4, Panel B). FIGUR A8-3 En enkel representation av genomsnittlig bas överflöd per bas visar att data inte distribueras slumpmässigt. Detta föreslår att skyddskapaciteten hos vissa koraller kan gå vilse när temperaturen ökar, vilket ger en mekanism för att förklara hur ökade temperaturer sänker korallmotståndet och ökar känsligheten för sjukdomar. Köksduksduken som en källa till och fordon för livsmedelsburna patogener i hemmet. FIGUR A12-2 Chytrid-tillväxt på canadadad-hud. A. Negativ kontroll (ingen chytrid): intakt hud efter 14 dagar. B.

För rent, eller inte för rent: Hygienhypotesen och hemhygien. Den andra civila patienten visade en unik genotyp, och studieförfattarna kunde inte utgå ifrån källan till den individs infektion. Perspektiv på retrovirus och AIDS-etnologiskt medel. Rarefactionskurvor, medan de inte är sanna bedömare av alfadiversitet, används ofta för att illustrera förhållandet mellan det observerade antalet samhällsdeltagare (dvs OTU) och provtagningsdjup. Inga standarder finns för att bygga databaser för att tillgodose behoven hos den mikrobiella rättsmedicinska gemenskapen. PHYLOGEOGRAFI OCH MOLECULAR EPIDEMIOLOGY OF YERSINIA PESTIS IN MADAGASCAR 23 Amy J. För prover i vilka ytterligare sekvenseringsläsningar genererades användes Illumina GAIIIX eller Illumina HiSeq 2000 (Figur S3). NP-proverna utvärderades med användning av xTAG respiratorisk viruspanel, producerad av Luminex eller multicode PLx respiratorisk viruspanel framställd av Eragen Inc (Madison, WI) (Colvin et al., Manuskript lämnat in). Patogenitet öar och fag i *Vibrio cholerae* evolution. Vibrios har visat sig vara närvarande i högre överflöd på korallytor före uppenbara tecken på nöd (Ritchie, 2006; Mao-Jones et al., 2010). Denna grupp innefattar humana patogener och godartade planktoniska och djurrelaterade marina bakterier.

Sök och klustra order av storleksordning snabbare än BLAST. Buller och den exakta bestämningen av mikrobiell mångfald från 454 pyrosequencing data. Fylogenetisk analys av de förutsagda RNA-polymeras- och kapsidproteinerna visade att virussekvenserna i JU1580 och JU1264 var mycket divergerande från alla tidigare beskrivna nodavirus och närmast relaterade till varandra (Figur A13-3B, C). Nodavirus är bipartitala positiva sträng-RNA-virus. De flesta forskare kommer överens om att för ett hagelgevinstprov ska en mer eller mindre jämn fördelning av varje bas på varje position av alla läsningar förväntas. Vad vi ser är att även om vi avlägsnar 1 av varje 500 singel-OTU, behåller distributionen sin karaktäristiska form, eftersom andelen av singletoner som avlägsnas jämfört med det observerade antalet är relativt liten. En av dessa, subclade I.A, hittades också i det närliggande omgivningsområdet.

Biogeografi och tidpunkt för evolutionära händelser bland Great Basin-fiskarna. Esther R. Robinson är vid Nuffield Department of Clinical Laboratory Sciences, Oxford University, Oxford OX3 9DU, Storbritannien.

Emellertid har många organismer ingen referenssekvens. I framtida studier undersöker vi hur olika virusarter och subtyper korrelerar med kliniska symtom. En utmaning för att analysera viromen i metagenomiska prover är verktyget för anpassningsverktyget tillgängligt. Människor och evolutionära och ekologiska krafter bildade fylogenetografi av nyligen uppkomna sjukdomar. Det är uppenbart att en sådan bredviddefinition inte möjliggör individualisering eller identifierar valda agenter. Koraller har visat sig skydda sig mot patogeninfektion genom närvaron av allelopatiska egenskaper i slemhinnan (Geffen och Rosenberg, 2005; Ritchie, 2006) eller korallvävnaden (Koh, 1997; Kelman et al., 2006; Gochfeld och Aeby, 2008). Dessa är oberoende expansionshändelser i förhållande till Bd-genduplikationerna och är inte associerade med ett specifikt skift i substratmetabolism. Beroende på plattformen och applikationen kan dessa fragment sträcka sig från 150 bp till 800 bp i längd; Storleksval omfattar antingen skörd från agarosgeler eller utnyttjar paramagnetisk-pärlbaserad teknik. Andra faktorer som bidrar till uppkomsten och återkomsten av nya patogener innefattar förändringar i markanvändning, mänsklig migration, fattigdom, urbanisering, antibiotika, moderna jordbruksmetoder och andra mänskliga beteenden (Cleaveland et al., 2007; IOM, 1992). Skriftligt informerat samtycke erhöles från föräldrarna eller vårdnadshavarna av alla ämnen. Näthetsproduktionen minskade dock avsevärt under vuxenlivet, tydligast i den infekterade C. Däremot koncentrerades mer än 97 procent av 1473-läsningarna från det första experimentet i två contigs som täckte endast 550 baser.

Nyckelord: biogeografi, Hydrobiidae, Physidae, Dwight W. Den begränsade diskrimineringen innebär emellertid att det kan vara svårt att göra landsspecifika slutsatser om de haitiska stammarnas ursprung på grundval av DNA-sekvensen ensam. Brist på förutsägbarhet bör inte vara orimligt avskräckande. Att definiera komplicerade mikrobiella ekosystem och utveckla verktyg för att undersöka deras arbete är ett viktigt forskningsföretag av tjugoförsta århundradets mikrobiologi. Tänk på Human Microbiome Project (Turnbaugh et al., 2007) som nyligen publicerat mer än 5 terabaser av sekvensdata från 172 personer. De två virusen tillhandahåller sålunda ett system för att studera värdparasitspecificitet och dess utveckling. FIGUR A7-4 Geografisk fördelning av SNP-definierade noder i stammen MG05-1020-linjen. Precis som i koralslimhinnan (Figur A11-1a och b) finns det ett skifte i revets ytor.

MARCO POLO Landerkarte Deutschland MARCO POLO Landerkarte Danemark MARCO POLO Landerkarte Europa (fysisk) MARCO POLO Landerkarte Frankreich MARCO POLO Landerkarte Griechenland MARCO POLO Landerkarte Kenia 1: 1 Mio. Vi förbättrade sammansättningen genom synten-baserad anpassning till JAM81 genom-sekvensen med Mercator (Dewey, 2007). I detta hänseende producerar uttrycket av mjältbrandtoxinkomponenter i *Bacillus cereus* en miltbrandliknande sjukdom som inte orsakas av *Bacillus anthracis* (Hoffmaster et al., 2004). Med tanke på erfarenheten av de senaste decennierna kan vi med säkerhet förutse att nya infektionssjukdomar sannolikt fortsätter att framstå och göra några allmänna förutsägelser om mikroberens natur som kan utgöra dessa hot. Dessa resultat visade en tydlig roll för RNAi i försvaret mot detta virus. Flera alternativ till modellering av inkommande longwave-strålning från allmänt tillgängliga data beaktas. Körtider kan vara så lite som några timmar för vissa plattformar, vilket innebär att det nu är möjligt att sekvensera tiotals eller till och med hundratals bakteriegener inom en vecka för endast några tusen dollar. Enterovirus-sekvenser detekterades i var och en av de 5

plasma prover som var positiva för enterovirus genom PCR.